

# Многофононное поглощение света в размерно-квантованных системах в однородных электрическом и магнитном полях

© Э.П. Синявский, Р.А. Хамидуллин

Приднестровский государственный университет им. Т.Г. Шевченко,  
MD-3300 Тирасполь, Молдавия

E-mail: agusanov@mail.ru

(Поступила в Редакцию 28 июня 2004 г.  
В окончательной редакции 14 декабря 2004 г.)

Исследовано влияние поперечного электрического поля на многофононное поглощение света в размерно-квантованных системах в однородном магнитном поле, направленном вдоль оси пространственного квантования. Показано, что при учете взаимодействия электрона с длинноволновыми колебаниями полуширина линии поглощения не зависит от напряженности  $\mathbf{E}$  постоянного электрического поля. С ростом  $\mathbf{E}$  максимум поглощения сдвигается в длинноволновую область и уменьшается. Рассмотрено влияние электрического поля на форму бесфононной линии (БФЛ) и первых колебательных спутников при учете взаимодействия носителей с оптическими фононами. В частности, показано, что полуширина БФЛ существенным образом зависит от  $\mathbf{E}$  и при  $E = 2 \cdot 10^4$  V/cm может достигать нескольких meV.

1. Известно, что если напряженность магнитного поля  $\mathbf{H}$  направлена перпендикулярно поверхности размерно-квантованной системы, то спектр свободного электрона оказывается полностью квантованным (квази-нуль-мерным). Именно это обстоятельство приводит к тому, что форма полос поглощения и люминесценции определяется многофононными процессами [1]. В настоящей работе исследуются особенности оптических спектров в размерно-ограниченных системах в магнитном поле, направленном вдоль оси пространственного квантования, возникающие в электрическом поле  $\mathbf{E}$ , ориентированном вдоль поверхности квантовой ямы (КЯ). Экситонными эффектами в дальнейшем пренебрегаем, так как рассматриваются сильные квантованные магнитные поля, когда кулоновское взаимодействие электрона с дыркой мало по сравнению с расстоянием между уровнями поперечного квантования. Подробное исследование и критерии справедливости такого приближения приведены в [2]. Расчеты коэффициента поглощения света проводятся в однозонном приближении, что для случая  $\mathbf{E} \perp \mathbf{H}$  означает выполнение неравенства [3,4]  $cE/(SH) \ll 1$  ( $S = \sqrt{\varepsilon_g/4m_c}$ ,  $\varepsilon_g$  — ширина запрещенной зоны исследуемого полупроводникового материала,  $m_c$  — эффективная масса электрона,  $c$  — скорость света).

2. Гамильтониан для электронов в состоянии  $i$  при  $\mathbf{H} \neq 0$  ( $i = c$  — зона проводимости,  $i = v$  — валентная зона) в рассматриваемой конфигурации полей в калибровке Ландау  $\mathbf{A}(-Hy, 0, 0)$  имеет вид

$$\hat{H}_i = \frac{1}{2m_i} \left( \hat{P}_x - \frac{eH}{c} y \right)^2 + \frac{\hat{P}_y^2}{2m_i} + \frac{\hat{P}_z^2}{2m_i} + U_i(z) + eEy. \quad (1)$$

Если энергия размерного квантования в одномерном потенциале  $U_i(z)$  есть  $E_{ni}$ , то собственные значения уравнения Шредингера с гамильтонианом (1) определя-

ются соотношением

$$\varepsilon_{nvk_x}^i = \hbar\omega_i(v + 1/2) + E_{ni} + eER^2K_x - \frac{e^2E^2}{2m_i\omega_i^2}, \quad (2)$$

где  $\omega_i = eH/(m_i c)$  — циклотронная частота,  $v$  — номер уровня Ландау,  $K_x$  — проекция волнового вектора электрона,  $R^2 = \hbar c/(eH)$ ,  $e$  — заряд электрона,  $m_i$  — эффективная масса носителя.

Волновые функции исследуемой задачи представляют собой произведение волновой функции носителя в одномерном потенциале на волновые функции электрона в скрещенных электрическом и магнитном полях [5].

Коэффициент межзонного поглощения света частоты  $\Omega$  и поляризации  $\xi$ , согласно формуле Кубо [6], выражается через корреляционную функцию дипольных моментов и в представлении вторичного квантования имеет вид

$$K(\Omega) = \frac{8\pi e^2}{n_0 c \hbar \Omega V} \left| \frac{\mathbf{P}_{cv}\xi}{m_0} \right|^2 \sum_{\substack{\alpha\alpha_1 \\ \beta\beta_1}} \langle \alpha^v | \alpha_1^c \rangle \langle \beta_1^c | \beta^v \rangle \times \int_{-\infty}^{\infty} dt \exp(i\Omega t) \langle \alpha_\alpha(t) a_{\alpha_1}(t) a_{\beta_1}^+ a_\beta^+ \rangle. \quad (3)$$

Здесь введены следующие обозначения:  $a_\alpha^+$  ( $a_\alpha$ ) и  $\alpha_\alpha^+$  ( $\alpha_\alpha$ ) — операторы рождения (уничтожения) электрона и дырки соответственно,  $\alpha(m, k_x)$  — набор квантовых чисел, характеризующих состояние заряженной частицы ( $m(v, n)$ ),  $|\alpha^{(i)}\rangle$  — сглаженная волновая функция в состоянии  $i$ ,  $\mathbf{P}_{cv}$  — матричный элемент оператора импульса на блоховских функциях,  $V$  — объем системы,  $m_0$  — масса свободного электрона,  $n_0$  — показатель преломления. Усреднение  $\langle \dots \rangle$  в (3) проводится с матрицей плотности для электрона в скрещенных электрическом и магнитном полях,

$$\hat{A}(t) = \exp\left(\frac{it}{\hbar} \hat{H}\right) \hat{A} \exp\left(-\frac{it}{\hbar} \hat{H}\right). \quad (4)$$

Гамильтониан для электронов и дырок с учетом взаимодействия их с колебаниями кристаллической решетки в представлении вторичного квантования записывается в следующем виде:

$$\begin{aligned} \hat{H} = & \sum_{\alpha} (\varepsilon_{\alpha}^c - \xi) a_{\alpha}^{+} a_{\alpha} + \sum_{\alpha} (\varepsilon_{\alpha}^v - \xi_1) \alpha_{\alpha}^{+} \alpha_{\alpha} \\ & + \sum_{\mathbf{q}} \hbar \omega_{\mathbf{q}} b_{\mathbf{q}}^{+} b_{\mathbf{q}} + \sum_{\alpha \mathbf{q}} C_{\mathbf{q}}^c V_{\alpha \alpha_1}^c(\mathbf{q}) a_{\alpha}^{+} a_{\alpha_1} (b_{\mathbf{q}} + b_{-\mathbf{q}}^{+}) \\ & + \sum_{\alpha \mathbf{q}} C_{\mathbf{q}}^v V_{\alpha \alpha_1}^v(\mathbf{q}) \alpha_{\alpha}^{+} \alpha_{\alpha_1} (b_{\mathbf{q}} + b_{-\mathbf{q}}^{+}), \end{aligned} \quad (5)$$

$\xi$  — химический потенциал;  $\xi_1 = -\xi + \varepsilon_g$ ;  $b_{\mathbf{q}}^{+}(b_{\mathbf{q}})$  — операторы рождения (уничтожения) фононов с энергией  $\hbar \omega_{\mathbf{q}}$  и волновым вектором  $\mathbf{q}$ ;  $C_{\mathbf{q}}^i$  — коэффициентная функция, описывающая взаимодействие частицы с фононами,

$$V_{\alpha \alpha_1}^i(\mathbf{q}) = \langle \alpha^i | e^{i\mathbf{q}\mathbf{r}} | \alpha_1^i \rangle.$$

Уравнение движения для оператора  $a_{\alpha}(t)$ , согласно (4), имеет вид

$$\begin{aligned} \dot{a}_{\alpha}(t) = & -\frac{i}{\hbar} \left\{ (\varepsilon_{\alpha}^c - \xi) a_{\alpha}(t) \right. \\ & \left. + \sum_{\alpha_1 \mathbf{q}} C_{\mathbf{q}}^c V_{\alpha \alpha_1}^c(\mathbf{q}) (b_{\mathbf{q}} e^{-i\omega_{\mathbf{q}} t} + b_{-\mathbf{q}}^{+} e^{i\omega_{\mathbf{q}} t}) a_{\alpha_1}(t) \right\}. \end{aligned} \quad (6)$$

При записи (6) пренебрегалось влиянием электронов на фоновый спектр, т.е. полагалось

$$b_{\mathbf{q}}(t) \approx b_{\mathbf{q}} e^{-i\omega_{\mathbf{q}} t}, \quad b_{\mathbf{q}}^{+}(t) \approx b_{\mathbf{q}}^{+} e^{i\omega_{\mathbf{q}} t}.$$

Это приближение справедливо для невырожденных полупроводников, поскольку поправки, вносимые в спектр свободных фононов, определяются поляризационным оператором, который в низшем порядке по электрон-фононному взаимодействию пропорционален концентрации электронов. Решение уравнения (6) будем искать в диагональном по квантовым числам  $m(v, n)$  приближении (в [1] обсуждается справедливость такого приближения). Тогда оператор

$$\xi_{\alpha}^c(t) = \exp\left(\frac{it}{\hbar} (\varepsilon_{\alpha}^c - \xi)\right) a_{\alpha}(t) \quad (7)$$

в принятом приближении удовлетворяет уравнению движения

$$\begin{aligned} \dot{\xi}_{mK_x}^c(t) = & -\frac{i}{\hbar} \sum_{\mathbf{q}K_x'} C_{\mathbf{q}}^c \langle mK_x | e^{i\mathbf{q}\mathbf{r}} | mK_x' \rangle (b_{\mathbf{q}} e^{-i\omega_{\mathbf{q}} t} + b_{-\mathbf{q}}^{+} e^{i\omega_{\mathbf{q}} t}) \\ & \times \exp\left(\frac{it}{\hbar} - eER^2(K_x - K_x')\right) \xi_{mK_x'}^c(t). \end{aligned} \quad (8)$$

Если учесть, что  $K_x - K_x' - q_x = 0$  (это непосредственно следует из матричного элемента в (8)), то уравнение

движения для  $\xi_{mK_x}^c(t)$  можно записать в следующем виде:

$$\begin{aligned} \dot{\xi}_{mK_x}^c(t) = & -\frac{i}{\hbar} \sum_{\mathbf{q}K_x'} C_{\mathbf{q}}^c \langle mK_x | e^{i\mathbf{q}\mathbf{r}} | mK_x' \rangle \\ & \times [b_{\mathbf{q}} \exp(-i\tilde{\omega}_{\mathbf{q}} t) + b_{-\mathbf{q}}^{+} \exp(i\tilde{\omega}_{\mathbf{q}} t)] \xi_{mK_x'}^c(t), \end{aligned} \quad (9)$$

где

$$\tilde{\omega}_{\mathbf{q}} = \omega_{\mathbf{q}} - \frac{1}{\hbar} eER^2 q_x.$$

Матричный элемент на волновых функциях исследуемой задачи вычисляется элементарно,

$$\langle mK_x | e^{i\mathbf{q}\mathbf{r}} | mK_x' \rangle = V_m^c(\mathbf{q}) \langle K_x | \exp(i\hat{A}_{\mathbf{q}} | K_x' \rangle, \quad (10)$$

где

$$V_m^c(\mathbf{q}) = \tilde{V}_n^c(q_z) L_v \left( \frac{1}{2} R^2 (q_x^2 + q_y^2) \right) \exp\left(-\frac{1}{4} R^2 (q_x^2 + q_y^2)\right),$$

$$\hat{A}_{\mathbf{q}} = q_x x + q_y \frac{R^2}{\hbar} \hat{P}_x, \quad \hat{P}_x = -i\hbar \frac{\partial}{\partial x},$$

$\tilde{V}_n^c(q_z)$  — матричный элемент  $\exp(iq_z z)$  на волновых функциях одномерной потенциальной ямы  $U_c(z)$ ;  $L_v(z)$  — полином Лагерра.

С учетом (10) уравнение (9) принимает следующий вид:

$$\begin{aligned} \dot{\xi}_{mK_x}^c(t) = & -\frac{i}{\hbar} \sum_{\mathbf{q}K_x'} C_{\mathbf{q}}^c V_m^c(\mathbf{q}) \langle K_x | e^{i\hat{A}_{\mathbf{q}}} | mK_x' \rangle \\ & \times [b_{\mathbf{q}} \exp(-i\tilde{\omega}_{\mathbf{q}} t) + b_{-\mathbf{q}}^{+} \exp(i\tilde{\omega}_{\mathbf{q}} t)] \xi_{mK_x'}^c(t). \end{aligned} \quad (11)$$

Решением (11), как нетрудно показать [1], является

$$\begin{aligned} \xi_{mK_x}^c(t) = & \sum_{K_x'} \langle K_x | \exp\left\{\frac{it}{\hbar} \tilde{H}_0\right\} \\ & \times \exp\left\{-\frac{it}{\hbar} (\tilde{H}_0 + W_m^c)\right\} | K_x' \rangle \xi_{mK_x'}^c, \end{aligned} \quad (12)$$

где

$$\tilde{H}_0 = \sum_{\mathbf{q}} \hbar \tilde{\omega}_{\mathbf{q}} b_{\mathbf{q}}^{+} b_{\mathbf{q}}, \quad W_{\mathbf{q}}^c = \sum_{\mathbf{q}} C_{\mathbf{q}}^c V_m^c(\mathbf{q}) e^{i\hat{A}_{\mathbf{q}}} (b_{\mathbf{q}} + b_{-\mathbf{q}}^{+}).$$

Следовательно, согласно (7), временная зависимость  $a_{mK_x}(t)$  определяется соотношением

$$\begin{aligned} a_{mK_x}(t) = & \sum_{K_x'} \langle K_x | \exp\left\{\frac{it}{\hbar} \tilde{H}_0\right\} \exp\left\{-\frac{it}{\hbar} (\tilde{H}_0 + W_m^c)\right\} | K_x' \rangle \\ & \times \exp\left\{-\frac{it}{\hbar} (\varepsilon_{mK_x}^c - \xi)\right\} a_{mK_x'}^c. \end{aligned} \quad (13)$$

Аналогичное соотношение справедливо и для  $\alpha_{\alpha}(t)$ .

Если подставить  $a_{mK_x}(t)$ ,  $\alpha_{mK_x}(t)$  в (3), то коэффициент поглощения света принимает вид

$$K(\Omega) = \frac{8\pi e^2}{n_0 c \hbar \Omega V} \left| \frac{\mathbf{P}_{cv} \boldsymbol{\xi}}{m_0} \right|^2 \sum_{mm_1 K_x K'_x} |\langle m^v | m_1^c \rangle|^2 \times \int_{-\infty}^{\infty} dt \exp \left\{ \frac{it}{\hbar} (\hbar \Omega - \varepsilon_g - \varepsilon_m^v - \varepsilon_{m_1}^c) \right\} \times \left\langle K_x \left| \exp \left\{ \frac{it}{\hbar} \tilde{H}_0 \right\} \exp \left\{ -\frac{it}{\hbar} (\tilde{H}_0 + W_m^v) \right\} \right| K'_x \right\rangle \times \left\langle K_x \left| \exp \left\{ \frac{it}{\hbar} \tilde{H}_0 \right\} \exp \left\{ -\frac{it}{\hbar} (\tilde{H}_0 + W_{m_1}^v) \right\} \right| K'_x \right\rangle_{\text{ph}}. \quad (14)$$

При записи (14) учитывалось, что для невырожденных полупроводниковых систем

$$\langle \alpha_{\alpha} a_{\alpha_1} a_{\beta_1}^{\dagger} \alpha_{\beta}^{\dagger} \rangle \approx \delta_{\alpha\beta} \delta_{\alpha_1\beta_1},$$

$\{\dots\}_{\text{ph}}$  описывает усреднение по системе свободного фононного поля.

Усреднение в (14) можно провести с помощью обычных методов теории многофононных переходов [7] с использованием, например, алгебры Бозе-операторов [8]. В результате, если учесть, что усреднение по системе свободных фононов для электронов и дырок проводится независимо, для коэффициента поглощения света получаем выражение

$$K(\Omega) = K^{(0)} \sum_{mm_1} |\langle m^v | m_1^c \rangle|^2 \times \int_{-\infty}^{\infty} dt \exp \left\{ \frac{it}{\hbar} (\hbar \Omega - \varepsilon_g - \varepsilon_m^v - \varepsilon_{m_1}^c) \right\} \times \exp \{ g_{m_1}^c(t) + g_m^v(t) \}. \quad (15)$$

Здесь введены следующие обозначения:

$$g_m^i(t) = \sum_{\mathbf{q}} \frac{1}{(\hbar \tilde{\omega}_{\mathbf{q}})^2} |C_{\mathbf{q}}^i V_m^i(\mathbf{q})|^2 \times \left\{ it \tilde{\omega}_{\mathbf{q}} + (2N_{\mathbf{q}} + 1) [\cos \tilde{\omega}_{\mathbf{q}} t - 1] - i \sin \tilde{\omega}_{\mathbf{q}} t \right\},$$

$$K^{(0)} = \frac{4e^2}{n_0 c \hbar \Omega a R^2} \left| \frac{\mathbf{P}_{cv} \boldsymbol{\xi}}{m_0} \right|^2 \exp \left\{ -\frac{1}{2} \left( \frac{eER^3}{\hbar^2} \right)^2 (m_v + m_c)^2 \right\}, \quad (16)$$

$N_{\mathbf{q}}$  — функция распределения равновесных колебаний,  $a$  — толщина КЯ.

Заметим, что в отсутствие электрического поля ( $E = 0$ ) выражение (15) переходит в результат работы [1].

**3.** При квазиклассическом описании колебаний (это оправдано при взаимодействии носителей с длинноволновыми акустическими фононами)  $g_m^i(t)$  можно разложить в ряд по  $t$  до членов  $t^2$  включительно

$$g_m^v(t) + g_{m_1}^c(t) = -Bt^2.$$

В случае прямоугольных КЯ для низших магнитно-размерно-квантованных состояний ( $m = m_1 = (0, 1)$ ) имеем

$$B = \frac{3kT(E_c^2 + E_v^2)}{8\pi \hbar^2 \rho v^2 R^2 a}, \quad (17)$$

$E_c, E_v$  — деформационные потенциалы для носителей в зоне проводимости и в валентной зоне соответственно,  $\rho$  — плотность полупроводникового материала,  $v$  — скорость звука в среде,  $T$  — температура.

В рассматриваемом случае форма линии поглощения (как и люминесценции) описывается гауссовой кривой, и электрическое поле не влияет на полуширину оптических спектров, а только смещает максимум поглощения с ростом  $E$  в длинноволновую область и уменьшает величину коэффициента поглощения света. Заметное влияние электрического поля на форму поглощения происходит при взаимодействии электрона с оптическими колебаниями частоты  $\omega_{\mathbf{q}} = \omega_0$ . При слабой электрон-фононной связи в спектре поглощения (равно как и в спектре люминесценции) возникают бесфононная линия (БФЛ) и колебательные спутники (КС), связанные с поглощением электромагнитной волны с одновременным поглощением или излучением колебательного кванта.

Перспективным объектом наблюдения БФЛ и КС в области собственного поглощения являются КЯ GaN/AlGaIn, InGaIn/InN. Именно такие квантовые системы в настоящее время интенсивно исследуются в связи с необходимостью увеличения срока службы лазеров ультрафиолетового диапазона [9,10], а также в связи с применением этих структур в приборах полупроводниковой электроники нового поколения в условиях высоких температур [11].

КС экспериментально наблюдались как в нелегированных, так и в легированных кремнием узких КЯ GaN/AlGaIn [12]. Следовательно, дальнейшие исследования оптических свойств таких квантовых систем и установление механизмов, ответственных, например, за спонтанное излучение в реальных приборных структурах [13], являются актуальной задачей.

Для исследования особенностей поведения БФЛ в электрическом поле воспользуемся методикой, развитой в [14] и подробно описанной в [15]. Если использовать соотношения

$$\frac{1 - \cos \tilde{\omega}_{\mathbf{q}} t}{\tilde{\omega}_{\mathbf{q}}^2} \Big|_{|t| \rightarrow \infty} = \pi |t| \delta(\tilde{\omega}_{\mathbf{q}}) + \frac{P}{\tilde{\omega}_{\mathbf{q}}^2}$$

( $P$  — главное значение),

$$\frac{\sin \tilde{\omega}_{\mathbf{q}} t}{\tilde{\omega}_{\mathbf{q}}^2} \Big|_{|t| \rightarrow \infty} = \pi \delta'(\tilde{\omega}_{\mathbf{q}}) \text{sign } t, \quad (18)$$

то

$$g(t) = g^c(t) + g^v(t) \approx \frac{it}{\hbar} \tilde{\Delta} - M - \Gamma |t|, \quad (19)$$

(второе равенство (18) далее для простоты не учитываем).

Здесь введены следующие обозначения:

$$\tilde{\Delta} = \sum_{\mathbf{q}} V_{\mathbf{q}} \frac{P}{\hbar\tilde{\omega}_{\mathbf{q}}}, \quad M = \sum_{\mathbf{q}} V_{\mathbf{q}}(2N+1) \frac{P}{(\hbar\tilde{\omega}_{\mathbf{q}})^2},$$

$$\Gamma = \sum_{\mathbf{q}} V_{\mathbf{q}}(2N+1) \frac{\pi}{\hbar^2} \delta(\tilde{\omega}_{\mathbf{q}}),$$

$$V_{\mathbf{q}} = |C_{\mathbf{q}}^c V_m^c(\mathbf{q})|^2 + |C_{\mathbf{q}}^v V_m^v(\mathbf{q})|^2,$$

$$N = \left[ \exp\left(\frac{\hbar\omega_0}{kT}\right) - 1 \right]^{-1}.$$

Если учесть соотношение (18), а также взаимодействие электрона с акустическими колебаниями, то после интегрирования по  $t$  в (15) БФЛ принимает следующий вид (рассматривается оптический переход в прямоугольных КЯ между низшими магнитоэнергетическими  $i$ -состояниями):

$$K(\Omega) = K^{(0)} \omega_0 e^{-M} \sqrt{\frac{\pi}{4B}} \left\{ \exp\left(\frac{1}{4B} (\Gamma + i\Delta)^2\right) \times \left[ 1 - \Phi\left(\frac{1}{2\sqrt{B}} (\Gamma + i\Delta)\right) \right] + \text{h.c.} \right\}, \quad (20)$$

где

$$\Delta = \frac{1}{\hbar} \left[ \hbar\Omega - \varepsilon_g - \hbar\omega_c/2 - \hbar\omega_v/2 - E_{1c} - E_{1v} + \frac{c^2 E^2}{2H^2} (m_c + m_v) + \tilde{\Delta} \right],$$

$\Phi(z)$  — функция вероятности.

Из (20) непосредственно следует, что при  $\Gamma/\sqrt{4B} > 1$  БФЛ описывается лоренцевой кривой с полушириной  $2\hbar\Gamma$ . Если  $\Gamma/\sqrt{4B} < 1$ , то БФЛ описывается гауссовой кривой с полушириной  $2\hbar\sqrt{B \ln 2}$ .

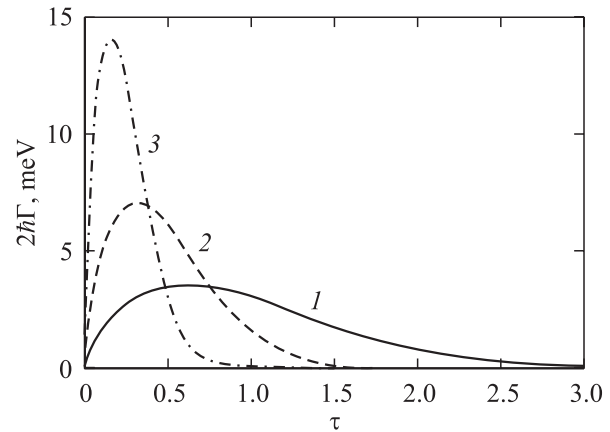
Для прямоугольной КЯ с бесконечно высокими стенками при  $(a/R)^2 = \pi^2 \hbar\omega_c / (2E_{1c}) \ll 1$  (для типичных параметров КЯ последнее неравенство выполняется с хорошей степенью точности; например, при  $a = 100 \text{ \AA}$ ,  $H = 1 \text{ Т}$ ,  $(a/R)^2 \sim 10^{-1}$ )  $\Gamma$  и  $M$  вычисляются непосредственно [16]:

$$\begin{aligned} \Gamma &= \Gamma_0 \tau e^{-\tau^2} K_0(\tau^2), \\ M &= M_0 \tau^3 e^{-\tau^2} [I_0(\tau^2) - I_1(\tau^2)], \\ \Gamma_0 &= \frac{e^2 c_0 (2N+1)}{2\hbar R}, \quad M_0 = \frac{4\pi e^2 c_0 (2N+1)}{\hbar\omega_0 R}, \\ \tau &= \frac{\hbar\omega_0}{2eER}, \quad c_0 = \frac{1}{\varepsilon_0} - \frac{1}{\varepsilon_\infty}, \end{aligned} \quad (21)$$

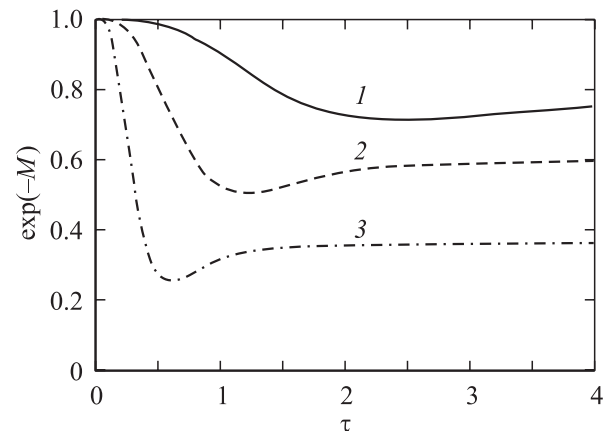
$\varepsilon_0, \varepsilon_\infty$  — соответственно статическая и высокочастотная диэлектрические проницаемости,  $I_\nu(z)$  — модифицированная функция Бесселя,  $K_0(z)$  — функция Макдональда с нулевым индексом.

На рис. 1 приведена зависимость полуширины БФЛ от величины электрического поля. Из этого рисунка видно, что с ростом напряженности электрического поля полуширина БФЛ ( $\Gamma/\sqrt{4B} > 1$ ) увеличивается.

Следовательно, основное воздействие на форму БФЛ возникает, когда энергия, набираемая электроном на магнитной длине, составляет величину порядка предельной энергии оптического фонона  $eER \approx \hbar\omega_0$ . С учетом общепринятых параметров для прямоугольных КЯ (при  $H = 1 \text{ Т}$ ,  $c_0 = 0.09$  (КЯ GaN/AlGaIn),  $N = 0.5$ ,  $\hbar\omega_0 = 0.03 \text{ эВ}$ ,  $E \approx 2 \cdot 10^4 \text{ В/см}$ ) полуширина БФЛ составляет порядка  $7 \text{ меВ}$ . На рис. 2 представлена зависимость  $\exp(-M)$ , т. е. вклад в интенсивность БФЛ, связанный с электрон-фононным взаимодействием, от напряженности электрического поля. Как видно из рис. 2, при  $E < 10^4 \text{ В/см}$  ( $\tau > 2$ )  $\exp(-M)$  практически не зависит от напряженности электрического поля. Следовательно, величина БФЛ определяется только зависимостью  $K^{(0)}$  от  $E$ .



**Рис. 1.** Зависимость полуширины линии БФЛ от величины напряженности однородного электрического поля  $\tau = \frac{\hbar\omega_0}{2eER_0}$  ( $R_0 = 2.56 \cdot 10^{-6} \text{ см}$  — магнитная длина при величине магнитного поля в 1 Т) для различных значений величины магнитного поля.  $H, \text{ Т}$ : 1 — 0.25, 2 — 1, 3 — 4.



**Рис. 2.** Зависимость  $\exp(-M)$  (интенсивность БФЛ, определяемая электрон-фононным взаимодействием) от напряженности электрического поля  $\tau = \frac{\hbar\omega_0}{2eER_0}$  ( $R_0 = 2.56 \cdot 10^{-6} \text{ см}$ ) для различных значений величины магнитного поля.  $H, \text{ Т}$ : 1 — 0.25, 2 — 1, 3 — 4.

Для исследования частотной зависимости КС в (15) разложим экспоненту в ряд по  $g(t)$  и для первых КС ограничимся членами, описывающими однофононные процессы. В рассматриваемом случае

$$K_{ps}(\Omega) = K^{(0)} \frac{2\tau e^2 c_0}{R\hbar\omega_0 q_0^2} \left\{ (N+1) \exp(-\tau^2(q_0+1)^2) \times K_0[\tau^2(q_0+1)^2] + N \exp(-\tau^2(q_0-1)^2) \times K_0[\tau^2(q_0-1)^2] \right\}, \quad (22)$$

где  $q_0 = \Delta/\omega_0$ .

Первое слагаемое в (22) описывает поглощение света с излучением оптического колебательного кванта, второе — поглощение электромагнитной волны с последующим поглощением бездисперсионного фонона. При  $q_0 = \pm 1$ , т.е. в максимуме КС, возникают логарифмические расходимости ( $K_0(x) \sim \ln(2/x)$ ,  $x \ll 1$ ) [16]. Они устраняются, если учесть взаимодействие электронов с акустическими фононами (как это делалось при исследовании БФЛ). При этом величина максимумов поглощения КС определяется параметром  $B$ , т.е. величиной деформационного потенциала и температурой.

## Список литературы

- [1] Э.П. Снявский, Е.И. Гребенщикова. *ЖЭТФ* **116**, 6(12), 2069 (1999).
- [2] L.V. Butov, A. Zrenner, M. Shayegan. *Phys. Rev. B* **49**, 19, 14 054. (1994).
- [3] А.И. Ансельм. Введение в теорию полупроводников. Наука, М. (1978). 615 с.
- [4] А.Г. Аронов, Г.Е. Пикус. *ЖЭТФ* **51**, 3, 505 (1966).
- [5] B. Lax. *Proc. 7th Int. Conf. Phys. of Semiconductors. Dund, Paris* (1964). P. 253.
- [6] R. Kubo. *J. Phys. Soc. Jap.* **12**, 570 (1957). [В сб.: Термодинамика необратимых процессов. ИЛ, М. (1962). 365 с.].
- [7] Ю.Е. Перлин. *УФН* **80**, 4, 553 (1963).
- [8] У. Люиселл. Излучение и шумы в квантовой электронике. Наука, М. (1972). 398 с.
- [9] S. Nakamura, M. Senoh, S. Nagahama, N. Iwasa, S. Yamada, T. Matsushita, H. Kiyoku, Y. Sugimoto. *Appl. Phys. Lett.* **68**, 3269 (1996).
- [10] L. Akasaki, S. Sota, H. Sakai, T. Tanaka, M. Koike, H. Amano. *Electron. Lett.* **32**, 1105 (1996).
- [11] S.K. Islam, F.C. Jain, G. Zhao, E. Heller. *Int. J. Infrared and Millimeter Waves* **19**, 1633 (1998).
- [12] K.C. Zeng, J.Y. Lin, H.X. Jiang, A. Salvador, G. Popovici, H. Tang, W. Kim, H. Morkos. *Appl. Phys. Lett.* **70**, 10, 1368 (1997).
- [13] А.В. Андрианов, В.Ю. Некрасов, Н.М. Шмидт, Е.Е. Заварин, А.С. Усиков, Н.Н. Зиновьев, М.Н. Ткачук. *ФТП* **36**, 6, 679 (2002).
- [14] М.А. Кривоглаз. *ФТТ* **6**, 4, 1707 (1964).
- [15] Ю.Е. Перлин, Б.С. Цукерблат. Эффект электронно-колебательного взаимодействия в оптических спектрах примесных парамагнитных ионов. Штиинца, Кишинев (1974). 368 с.
- [16] И.С. Градштейн, И.М. Рыжик. Таблицы интегралов, сумм, рядов и произведений. ГИФМЛ, М. (1962). 1100 с.